

# 浮遊構造の構造動力学について

東京大学 吉田宏一郎

## 1. はじめに

海洋における調査、資源探査および備蓄、海洋空間利用等、海洋環境の保全と利用のための各種の形式の海洋構造物が建造あるいは検討されており、基本的な形式の一つが浮遊式の海洋構造物である。浮遊海洋構造物にも種々の形状があるが考えられており、大別すると、一つは、大きな体積を全体として一体とみなして構造で囲むもの（バージ型）、他の一つは、結合された複数個の浮体からなり、その一部が没水状態にあるもの（半潜水型）と分類できる。（Fig. 1）

固定構造と比較して、浮遊構造は、建造に因して水深の影響が小さい、浮力を利用することにより大きな重量を合理的に支持できる、又地盤力を直接受けない等の利点がある反面、浮遊状態上あるために位置、姿勢の確保の問題が生じ、又潮流力や波力により過大な運動が発生する可能性があるとともに構造内力が運動との関連で複雑になる。このため、構造物としての性能、安全性の観点から運動および構造強度が重要な問題となる。

浮遊構造に作用する外力を分類すると、Fig. 2 のよ

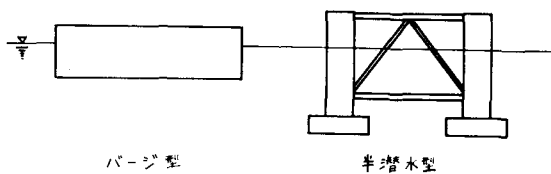


Fig. 1 浮遊構造の基本形状

うにまとめられる。これらは各種外力を受けて、構造部材には、静荷重による内力に加えて、波力等の変動荷重による内力が生じ、さらに場合によっては、局部的共振、波衝撃压あるいは機械起振力による局部応力が発生して重畠する事になる。内力が過大になると、過度の塑性変形、座屈崩壊、疲労破壊、脆性破壊等が生じ、極端な場合は、全体構造として破壊する。

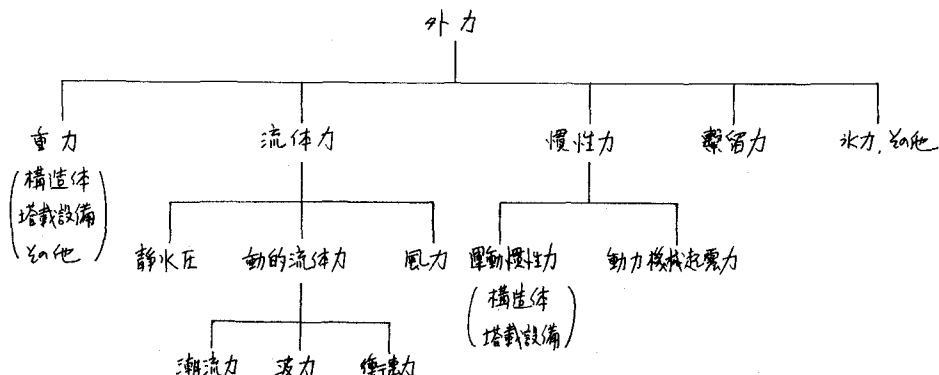


Fig. 2 浮遊構造に作用する外力

バージ型浮遊構造は、その形状から、運動・構造応答の性質に因じて通常の船舶と類似点が多いので、以下においては、半潜水型浮遊構造、特に波浪中ににおける全体構造としての構造内力の応答の解析を中心として概説する

## 2. 浮遊構造の静平衡と安定性

浮遊構造に関する最も基本的な問題は、風、波、潮流のない静水中における平衡であり、特殊な場合以外、構造自身は剛体として取扱われる。これは、構造体、塔載設備等による全重量が浮力と静的に平衡する状態であり、重力と浮力とが大きさを等しく方向反対で作用線が一致する状態で平衡位置となる。

$$\text{構造重量} + \text{塔載重量} + \text{その他} = \text{浮力} (= \text{排水量}) \quad (1)$$

浮遊構造は、位置確保のため、通常、鎖および索によって繋留されるが、これにはスラック・ワイヤ方式とトート・ワイヤ方式の2種類の方法がある。(Fig. 3)

スラック・ワイヤ方式の場合には、鎖、索の水中重量が、ストート・ワイヤ方式の場合には、引張力が(1)式の左边に含まれることになる。

次に基本的な問題は、静平衡状態の安定性である。左右方向については、浮遊構造自体では復原力は生じないが、繋留力を考慮すれば復原力が生じて安定となり、上下方向については、重力と浮力との差が復原力として作用するから安定である。回転については、例とし

てバージ型の2次元問題を考えてみる。この場合、浮遊構造自体の特性を考えるために、繋留の影響は無視する(1)とする。Fig. 4に示すように、傾斜角により、浮力の中心(浮心)がBからB'へ移動することにより、重心Gに作用する重力と浮力とが正の復原モーメントを形成し、その大きさは次のように求められる。

$$\overline{BB'} = \frac{V}{\rho} \overline{gg'}, \quad \overline{BB'} \parallel \overline{gg'} \quad (2)$$

左記し、 $V = \text{体積 } W_0 L_0 = \text{体積 } L_0 L_0$ ,  $\rho = \text{没水体積} (= \text{一定})$

$$\Delta BB'R \cap \Delta gg'h'', \quad \therefore \overline{BR} = \frac{V}{\rho} \overline{hh''} \quad (3)$$

$$\therefore \text{復原モーメント} = W \cdot \overline{GZ} = W \cdot (\overline{BR} - \overline{BQ}) = W \cdot \left( \frac{V}{\rho} \overline{hh''} - \overline{BG} \cdot \sin \theta \right) \quad (4)$$

復原モーメントを縦軸、傾斜角を横軸とする曲線を静復原力曲線と称し、静平衡が回転について安定ということは、その状態で正の復原力を有していることであり、倒伏しないために先ずこのことが必要である。静的に作用する外力モーメントが存在する場合の傾斜角による曲線から求められる。静復原モーメントを傾斜角について積分した量を動復原力、その曲線を動復原力曲線と称する。(Fig. 5)

$$\text{動復原力} = \int_0^\theta W \cdot \overline{GZ} d\theta \quad (5)$$

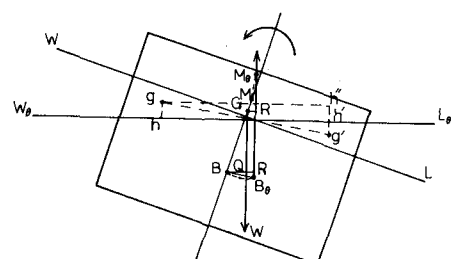


Fig. 4 傾斜による復原力

これは、任意の角度まで傾斜させたのに必要な仕事を表わしているので、実風等による動的外力モーメントに対する傾斜角を求めるのに用いる。船級協会の規則では、半潜水型浮遊構造の動復原力特性に対して、次のよう

な制限を設けてる。(Fig. 6)

$$\text{面積 } (A + B) \geq 1.3 \cdot \text{面積 } (B + C) \quad (6)$$

時間的変動の小さい風や潮流については、これを定常流とみなして定常力を算出し、これより、重力、浮力、慣性力と静平衡する位置、姿勢を求める。又この結果に基づき静構造解析を行い、静平衡状態における応力を求めよ。

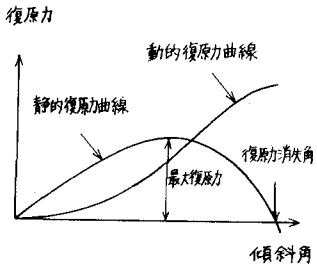


Fig. 5 復原力曲線

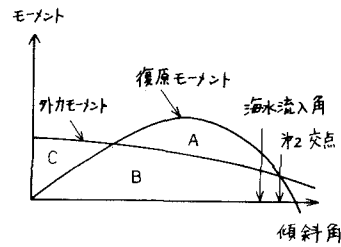


Fig. 6 復原性基準

### 3. 浮遊構造、構造内力算定に関する考察

浮遊構造に作用する、主要な動的外力は、波による変動荷重であり、これによる運動および内力の算定が最も基本的な動的問題である。<sup>(4)</sup> この問題に対する基礎的な考察として、ここでは、Taylor法従い、自由状態にある浮遊構造が周期的な強制外力を受けた場合の定常状態における構造内力の算定についてモード解析により考察する。

浮遊構造の構造全体としての質量マトリックスを  $M$ 、海中における運動に対する付加質量マトリックスを  $M_a$ 、剛性マトリックスを  $K$ 、海中における運動のために生ずる復原力マトリックスを  $K_d$ 、強制外力ベクトルを  $F$ 、構造の変位ベクトルを  $\delta$  とすれば、運動方程式は次のようにかける。

$$(M + M_a)\ddot{\delta} + (K + K_d)\delta = F \quad (7)$$

上式では、減衰項は、運動、内力の応答の本質的な傾向には影響を与えないものとして無視している。

$$\ddot{\delta} = \text{Re}[D e^{i\omega t}], \quad F = \text{Re}[F e^{i\omega t}] \quad (8)$$

とおき、(7)式に代入すれば、

$$\left\{ -\omega^2(M + M_a) + (K + K_d) \right\} D = F \quad (9)$$

<sup>(5)</sup>  $D$  を振動体運動モード  $\Psi$  <sup>(5)</sup> (固有周期  $\omega_{os}$ ) と弾性振動モード  $\Psi$  <sup>(6)</sup> (固有周期  $\omega_{ir}$ ) の和で表現できるものと仮定し、それらのモーダル・マトリックスを  $\Psi_0$ 、 $\Psi_1$  とすれば、

$$D = [\Psi_0 \quad \Psi_1] \begin{Bmatrix} C_0 \\ C_1 \end{Bmatrix} \quad (10)$$

$\Psi_0$  の要素  $\Psi_0^{(5)}$  は、空中での自由振動の場合には、完全な剛体運動モードに対応するものであるが、浮遊構造の場合には、浮力の存在のために、それは多少異なり、太振動体運動モードとなる。 $\Psi_0^{(5)}$ 、 $\Psi_1^{(6)}$  の直交性より、

$$\Psi_0^T M^t \Psi_0 = \bar{M}_0, \quad \Psi_1^T M^t \Psi_1 = \bar{M}_1 \quad (11)$$

$$\Psi^T K^t \Psi = \bar{M}_0 \bar{\Omega}_0^2, \quad \Psi^T K^t \Psi = \bar{M}_1 \bar{\Omega}_1^2 \quad (12)$$

ここで、 $M^t = M + Ma$ ,  $K^t = IK + IK_d$  であり、 $\bar{M}_0$ ,  $\bar{M}_1$  は  $\Psi$ ,  $\Psi_1$  の各要素と対応する定数を対角要素とする対角マトリックスであり、 $\bar{\Omega}_0^2$ ,  $\bar{\Omega}_1^2$  は、 $\Psi^{(s)}$ ,  $\Psi_1^{(r)}$  に対応する固有周波数の2乗を対角要素とする対角マトリックスである。

(10) 式を運動方程式に代入し、 $C_0$ ,  $C_1$  を解き (9) 式に代入すれば、 $IKD$  は次のようく表わされる。

$$IKD = F - M^t \Psi \bar{M}_0^{-1} \Psi^T F + K \Psi \bar{M}_0^{-1} (\bar{\Omega}_0^2 - \omega^2 I)^{-1} \Psi^T F \\ - K \Psi \bar{M}_1^{-1} \bar{M}_1 \Psi^T F + \omega^2 K \Psi \bar{M}_1^{-1} (\bar{\Omega}_1^2 - \omega^2 I)^{-1} \Psi^T F \quad (13)$$

(13) 式は、動的影響を左辺に移項し、運動中の構造内力を静的に算定するための外力項とみなした表現である。後に、 $\Psi$  を完全な剛体運動モードに対応するモーテル・マトリックスとすれば、 $\Psi_3$  項、 $\Psi_4$  項および $\Psi_5$  項も $\Psi$  となるので、静的に等価な外力は、 $\Psi_1$  項の外力と $\Psi_2$  項の剛体運動による慣性力とからなることが判る。

$$IKD = F - M^t \left[ \sum \frac{1}{M_{0s}} \Psi^{(s)} \Psi^{(s)T} F \right] \quad (14)$$

ほとんどの変形しない剛な浮遊構造では、剛体運動モードとの差は小さいと考えられるが、外力の周波数が低い場合には、近似的に (14) 式が成立するとしてよい。なお、等価な外力により、静的に構造内力を算定する（準静的取り扱い）には、浮遊構造が自由状態にある場合には、剛性マトリックス  $IK$  が特異にならるので、剛体運動の外を拘束する適切な境界条件を付さねばならない。  
(6)(7)

従来、規則波中の船体について、船体を剛体としてストリッッフ理論により運動を解析し、その結果の流体力、慣性力により、梁理論等に基づいて断面内応力分布を準静的に解析して来たことは、上述の参考と対応している。ただし、ほとんどの変形しない剛な浮遊構造においても、外力の周波数が高く、 $\Psi_5$  次の弾性振動モードと同調する可能性がある場合には、(13) 式の $\Psi_5$  項が重要となり、特にとの同調周波数近傍の外力を考慮する場合には、次のように近似である。

$$IKD = F + IK \left[ \sum \frac{\omega^2}{\omega_r^2} \cdot \frac{1}{M_{1r}(\omega_r^2 - \omega^2)} \Psi_1^{(r)} \Psi_1^{(r)T} F \right] \quad (15)$$

これは、波浪中で、船体上下方向 2 節弹性振動モードが、波底剝力の周波数と同調して、継曲げによる準静的な外力に比較して、周波数の高い応力が発生する現象即ちいわゆるスプリッギングの解析上において、例えは、2 節モードへの外力を考慮することに対応している。  
(8)(9)(10)

一方、柔かい浮遊構造の内力解析では、準静的な近似は不可能であり、現在までのところ、これに関する文献は少ない。<sup>(11)</sup> Wen と Sinoguka は、海上空港を想定して、変形するバージ型浮遊構造が津波を受ける場合の非定常応答を 2 次元問題として解析し、又吉田等は、浮遊骨組構造の変形を考慮した運動と内力の定常応答解析法を取扱つており、次の 4. においてその概略を述べる。

#### 4. 浮遊骨組周期応答の一解析法

全体構造として骨組構造とみなす浮遊構造を対象とし、構成部材は細長く、断面寸法は波長に比較して十分小さく、運動は静平衡まわりの微小な調和振動であるとする。構成部材は、Fig. 7 の如く要素に分割し、その機能を、形状、大きさおよび質量を有する剛体としての外殻要素 (Hull Element) と弾性体としての弾性剛性を、重心を通る線として有する梁要素 (Beam Element) として分離する解析モデルを考える。両者は、外

殻要素重心の変位と弾性骨組の節点変位を等置するとともに、外殻要素が、その形状、大きさ、質量を介して受けける慣性力、流体力をダランベールの原理により、骨組解析のための節点外力とする。以下の解析は、実際的な立体構造の一平面内の運動に注目した2次元問題を取扱い、又斜材は、他部材に比して断面寸法が十分小さいものとして流体力を算定しない。

外殻要素を受けける力は、要素自身の質量に基づく慣性力と以下に述べる流体力とし、静平衡に考慮する非周期力等は別解析によるものとして除外し、繋留に用いては、静平衡位置からの微小変位に対しては線形バネで近似できるものとして構造弹性の一部としてあるから。

(i) ベルヌーイの定理に基づく圧力、(ii) 水綫を貫通する要素に働く、波面上昇と要素重心上昇との差による浮力、(iii) [減衰係数 × 相対速度] で算定する力、相対速度は外殻要素における代表的な流体粒子速度と重心速度との差、(iv) [付加質量 × 相対加速度] で算定する力。これらの流体力は、物体の運動による慣性力、流体力、Froude-Krilloff 力および静止物体に働く波による流体力に分解されるが、物体の運動は小さく、又その大きさが入射波の波長に比較して小さいという仮定のもとで近似的に算定する。

外殻要素の受けける力は、その位置によって、種類と表現に差があるため、適切に区分して定式化する。静水面上に原点を有する空間固定座標(x-z系)をとり(Fig. 8)、入射波を左から右へ進む、微振幅中深海進行波(Airy 波)とすれば、波面上昇  $\eta$ 、速度ポテンシャル  $\Psi$  は、次のようにかける。

$$\eta = a \cos(Kx - \omega t) \quad (16)$$

$$\Psi = ca e^{Kz} \sin(Kx - \omega t) \quad (17)$$

$a, K, c, \omega$  は、入射波の振幅、円波数、位相速度、円周波数である。

これより、流体粒子速度は、

$$U = \frac{\partial \Psi}{\partial x} = a \omega e^{Kz} \cos(Kx - \omega t) \quad (18)$$

$$W = \frac{\partial \Psi}{\partial z} = a \omega e^{Kz} \sin(Kx - \omega t) = e^{Kz} \dot{\eta} \quad (19)$$

流体粒子加速度は、

$$U = \frac{\partial^2 \Psi}{\partial x^2} = a \omega^2 e^{Kz} \sin(Kx - \omega t) \quad (20)$$

$$W = \frac{\partial^2 \Psi}{\partial z^2} = -a \omega^2 e^{Kz} \cos(Kx - \omega t) = e^{Kz} \ddot{\eta} \quad (21)$$

圧力は、

$$P = -\frac{\partial \Psi}{\partial z} - \rho g z \quad (22)$$

上下方向端部を有する垂直水綫要素(Fig. 8)を例にとって、先に述べた慣性力、(i)～(iv) の流体力を (16)～(22) 式を用いて導出した結果を、3 方向の力を要素とするベクトルを  $\bar{F}$  として、次の形にまとめる。

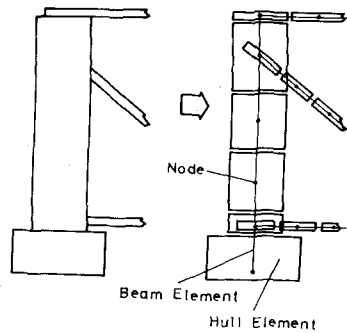


Fig. 7 解析モデル

$$\mathbf{F} = -\mathbf{K}_a \ddot{\mathbf{U}} - \mathbf{K}_v \dot{\mathbf{U}} - \mathbf{K}_d \mathbf{U} + \mathbf{f} \quad (23)$$

ここで、

$$\mathbf{F} = \begin{Bmatrix} f_x \\ f_z \\ f_\theta \end{Bmatrix}, \quad \mathbf{U} = \begin{Bmatrix} u \\ w \\ \theta \end{Bmatrix}, \quad \mathbf{f} = \begin{Bmatrix} f_x \\ f_z \\ f_\theta \end{Bmatrix} = \begin{Bmatrix} a\sqrt{\alpha_x^2 + \beta_x^2} \cos(Kx - wt + \gamma_x) \\ a\sqrt{\alpha_z^2 + \beta_z^2} \cos(Kz - wt + \gamma_z) \\ a\sqrt{\alpha_\theta^2 + \beta_\theta^2} \cos(K\theta - wt + \gamma_\theta) \end{Bmatrix} \quad (24)$$

$$\mathbf{K}_a = \begin{bmatrix} M+M_{az} & 0 & M_{az}L_1 \\ 0 & M+M_{az} & 0 \\ M_{az}L_1 & 0 & I_\theta + M_{az}L_2 \end{bmatrix}, \quad \mathbf{K}_v = \begin{bmatrix} N_x & 0 & N_x L_1 \\ 0 & N_z & 0 \\ N_x L_1 & 0 & N_z L_2 \end{bmatrix}, \quad \mathbf{K}_d = \begin{bmatrix} 0 & 0 & 0 \\ 0 & pgA & 0 \\ 0 & 0 & pgV_w L_1 \end{bmatrix} \quad (25)$$

$$\begin{Bmatrix} \alpha_x \\ \alpha_z \\ \alpha_\theta \end{Bmatrix} = \begin{Bmatrix} N_x w \epsilon_1 \\ pgA - (pV_w + M_{az}) w^2 \epsilon_1 \\ N_z w \epsilon_2 \end{Bmatrix}, \quad \begin{Bmatrix} \beta_x \\ \beta_z \\ \beta_\theta \end{Bmatrix} = \begin{Bmatrix} (pV_w + M_{az}) w^2 \epsilon_1 \\ N_x w \epsilon_1 \\ (pV_w + M_{az}) w^2 \epsilon_2 \end{Bmatrix}, \quad \begin{Bmatrix} \gamma_x \\ \gamma_z \\ \gamma_\theta \end{Bmatrix} = \begin{Bmatrix} \tan^{-1}(-\beta_x/\alpha_x) \\ \tan^{-1}(-\beta_z/\alpha_z) \\ \tan^{-1}(-\beta_\theta/\alpha_\theta) \end{Bmatrix} \quad (26)$$

$M$ ,  $I_\theta$ ,  $A$ ,  $V_w$  は、それぞれ、質量、慣性モーメント、断面積、排水体積であり、 $M_{az}$ ,  $M_{az}$ ,  $N_x$ ,  $N_z$  は、それぞれ  $x$  方向,  $z$  方向の付加質量、減衰係数である。

更に、

$$L_1 = \frac{l_2 - l_1}{2}, \quad L_2 = \frac{l_1^2 - l_1 l_2 + l_2^2}{3}, \quad \epsilon_1 = \frac{1 - e^{-(l_1 + l_2)K}}{(l_1 + l_2)K}, \quad \epsilon_2 = \frac{(l_2 K - 1) + (l_1 K + 1)e^{-(l_1 + l_2)K}}{(l_1 + l_2)K^2} \quad (27)$$

他の種類の要素に対しても 3 方向の力を導出し、(23) 式と同一の形式に整理する。

$\mathbf{K}_a$ ,  $\mathbf{K}_v$ ,  $\mathbf{K}_d$  は要素の見掛け慣性行列、減衰係数行列、復原係数行列であり、 $\mathbf{f}$  は波強制力である。各方向の付加質量、減衰係数が既知とすれば、要素に関して、これらの流体力、波強制力が算定出来ることになる。一方、梁要素の要素剛性行列は、局部座標系に対して次のようにかける。

$$\mathbf{K}_e = \begin{bmatrix} EA/l & 0 & 0 & -EA/l & 0 & 0 \\ 0 & 12EI/l^3 & 6EI/l^2 & 0 & -12EI/l^3 & 6EI/l^2 \\ 0 & 6EI/l^2 & 4EI/l & 0 & -6EI/l^2 & 2EI/l \\ -EA/l & 0 & 0 & EA/l & 0 & 0 \\ 0 & -12EI/l^3 & -6EI/l^2 & 0 & 12EI/l^3 & -6EI/l^2 \\ 0 & 6EI/l^2 & 2EI/l & 0 & -6EI/l^2 & 4EI/l \end{bmatrix} \quad (28)$$

座標変換により、前述の固定座標系へ変換し足し込みを行えば、全体剛性行列  $\mathbf{K}$  が得られ、

$$\mathbf{K} \mathbf{U} = \mathbf{F} \quad (29)$$

(23) 式を、要素に作用する力として、(29) 式の右辺へ、節点外力として代入することにより、系全体の運動方程式が導かれた。

$$\mathbf{K}_a \ddot{\mathbf{U}} + \mathbf{K}_v \dot{\mathbf{U}} + (\mathbf{K}_d + \mathbf{K}) \mathbf{U} = \mathbf{f} \quad (30)$$

構造の全体ある一部を剛体運動するものとして解析する場合には、剛体を構成する要素の重心変位  $\mathbf{U}_i$  と、その剛体の重心変位  $\mathbf{U}_g$  と剛体変位の仮定で結合する行列を  $\mathbf{T}_i$  とすれば、

$$\mathbf{U}_i = \mathbf{T}_i \mathbf{U}_g \quad (31)$$

要素  $i$  の重心に作用する外力  $\mathbf{F}_i$  の、剛体重心への寄与は、 $\mathbf{T}_i^T \mathbf{F}_i$  と表わされるから、(23) 式の右辺の各係数

行列および $\dot{\theta}_i$ に添字 $i$ を付して要素に属する量とすれば、剛体重心に作用する外力 $F_g$ は、次のようにならざる。

$$F_g = -(\sum T_i^T K_{ai} T_i) \ddot{U}_g - (\sum T_i^T K_{vi} T_i) \dot{U}_g - (\sum T_i^T K_{di} T_i) U_g + (\sum T_i^T f_i) \quad (32)$$

$\Sigma$ は、剛体を構成する要素に関して和をとることを意味している。なお、半潜水型浮遊構造のカラムのような、水面に垂直な部材を剛体として取扱う場合や、剛体に結合する要素の取扱いには、上記以外に付加的な注意が必要である。

さて、構造応答は、入射波と同一周波数の調和振動するものにて、これを解けば、運動応答、内力応答の振幅と位相差が、周波数ベースで求められることとなる。

計算結果の一例として、図中に示すように、2本の円筒カラムの上部を剛性の弱い梁で結合した構造モデルおよびその梁の中間にピン接合あるいはローラー接合を有する構造モデルに左側から入射波が来る場合の左側円筒の回転角振幅をFig. 9に示す。梁結合の場合には、梁が水平直線のまま剛体的に運動する同調点( $\omega \approx 5$ )と、2節振動モードの弾性変形とともに同調点( $\omega \approx 6.6$ )があり、ピン接合の場合は、 $\omega \approx 1.6$ に、ピンの固有をともなう同調点があり、ローラー接合には目立つ同調点は存在しない。又、Fig. 10に図中に示すように、2本のフーティング付円筒カラムを梁とK型プレースにより、剛に結合した構造モデルの左側円筒頂部の変位振幅を示す。運動は、全周波数領域において剛体的で、 $\omega \approx 3.7$ に同調点がある。同じモデルに関する梁およびK型プレース部材の軸力振幅(Fig. 11)によれば、運動の同調点より、周波数の高い領域で、各部材とも、軸力が極大、極小を繰り返す。この挙動は、Fig. 12に示す、2種類の弾性変形パターン、繰り返しとして説明でも、船体の綫曲ゲートメントについて、Bishop の <sup>(5)</sup> ship/wave matching に相当していると考えられる。

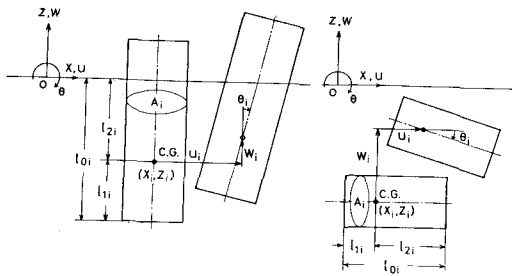


Fig. 8 水線垂直要素と水中水平要素

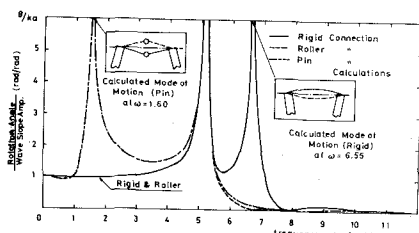


Fig. 9 素モデルの変位振幅

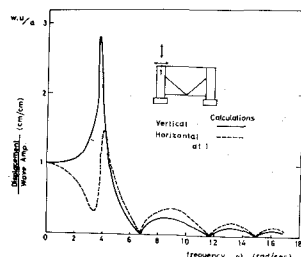


Fig. 10 剛モデルの変位振幅

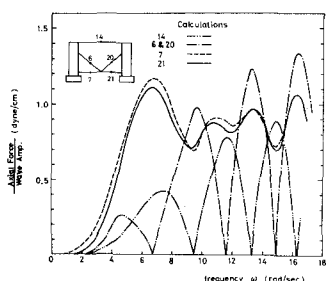


Fig. 11 剛モデルの軸力振幅

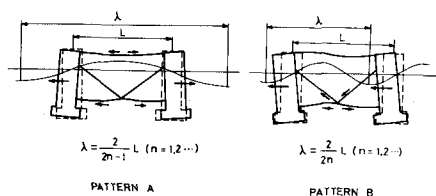


Fig. 12 剛モデルの弾性変形パターン

## 5. 半潜水型浮遊構造の構造応答解析

海底石油掘削リグ等の半潜水型浮遊構造は、水面上に垂直に存在する複数本のカラムを、没水平浮体(ロワーハル)あるいは梁および斜材で結合した構造となることが多い。この種の構造は、水線部分断面積が小さい、没水平体積が大きいので、固有周期が大きく、又没水平体の存在により波浪制力が非常に小さくなる周波数<sup>(14)</sup>、いわゆる波無し域を有しているので、波浪中の運動応答を小さくできるという運動学的な特徴を有している。この種の構造の全体構造としての内力算定は、通常、一般3次元空間における自由度剛体運動を解析し、その結果により、静的に構造内力を解析する。近年、これらを一連の演算として実行する統合的計算機プログラムの開発が盛んである。

運動解析に用いられる付加質量、減衰係数としては、実験結果あるいはボテンシャル論に基づく理論値が用いられ、一般に、周波数、吃水、自由表面の影響を受けたが、近似的な扱いとしては、無限深水中の値を用いることが多い。減衰力に関して、4. では線形減衰のみを考えたが、粘性減衰を考慮する場合には、部材軸に垂直な変位  $u$  と流体粒子速度  $v$  との相対速度を用いて、通常、以下の減衰力を用加する。<sup>(15)(16)(17)(18)(19)(20)(21)</sup>

$$f = -C(u-v)|u-v| \quad (22)$$

$C$ は、粘性減衰係数である。

(22) 式で、 $u=0$ として得られる力  $Cu|v|$  は、Morison<sup>(22)</sup>等が提唱した海底固定柱の波力算定式の抗力項に相当するものであり、一方、慣性力は、4. で述べた波浪制力の項に含まれている。カラムやロワーハルのような直徑の大きな部材では、慣性力が卓越するものとし、又直徑の小さい結合部材については、主要な内力は、全体構造としての弾性変形によって誘起されるとの認識のもとに、(22) 式に示す非線形項を無視することも多い。

半潜水型浮遊構造の構造設計には、2通りの考え方があり、1つは、設計波によるもので、揺動海成、水深によらず定まる波高と周期により設計波を設定する。他に1つは、スペクトル解析で、揺動海成の波のパワー・スペクトル密度が与えられ、かつ線形重ね合わせの原理を仮定して、構造内力の応答振幅スペクトル密度を計算し、これを基に各種の統計諸量を求める。

後者をより合理的な設計法として推奨している船級協会規則もある。<sup>(23)</sup>

Fig. 13 は、半潜水型浮遊構造の運動内力解析用の統合的計算機プログラムの一例として、フランス船級協会(BV)<sup>(24)</sup>の総合解析システムのフロー・フロー・チャートを示す。

## 6. おわりに

浮遊構造の構造内力解析を考察してきたが、これらは、実験による大型構造モデル実験により検証されたねばならない。しかし、現在まで<sup>(25)(26)(27)</sup>のところ、実験に関する論文は少な

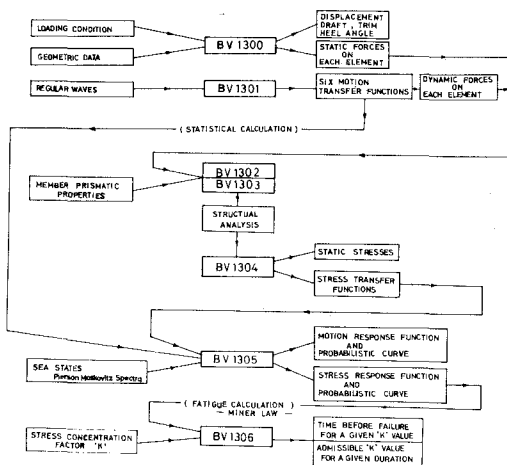


Fig. 13 半潜水型浮遊構造の総合解析システム (BV)

く、今後は期待される面が多い。更に、(i) 我国沿海、近海の潮流、風速、波浪データの集積による外力算定の信頼性の向上と、そのための計測システムの開発、(ii) 激流力算定法、繋留方法の改良と運動・強度解析法の確立、(iii) 全体構造解析と局部構造解析との直結および安定性との関連を考慮したことによる終局的安全度の明確化等今後の課題と考えられる。これらは実験、解析両面からの知識の集積と有機的結合により、社会的意義のある耐波構造のための、種々の新形式浮遊構造の開発研究の推進が望まれる。

## 参考文献

- (1) 大串雅信：理論船舶工学（上巻），海文堂，1958
- (2) American Bureau of Shipping : Rules for Building and Classing Offshore Mobile Drilling Units, 1973
- (3) 日本海事協会：鋼船規則 P篇，1975
- (4) Taylor, R. E. : Structural Dynamics of Fixed and Floating Platforms in Waves, Intern. Sympo. DMVSW, London, 1974
- (5) Bishop, R. E. D., Taylor, R. E. & Jackson, K. L. : On the Structural Dynamics of Ship Hulls in Waves, RINA, 1973
- (6) Krouskovsky, K. & Jacobs, W. R. : Pitching and Heading Motions of a Ship in Regular Waves, SNAME, 1957
- (7) 田才福造、高木又男：規則波中の応答理論および計算法、耐航性に関するシンポジウム、造船，1969
- (8) 秋田好輔他：船体総強度に関するトータルシステム—タンカーの総強度—、造船論，135号，1974
- (9) Goodman, R. A. : Wave Induced Main Hull Vibration in Large Tankers and Bulk Carriers, RINA, 1970
- (10) Gunsteren, F. F. V. : Springing. Wave Induced Ship Vibrations, ISP, Vol. 17, 1970
- (11) Wen, Y. K. & Shinouka, M. : Analysis of Floating Plate under Ocean Waves, Proc. ASCE, WW2, 1972
- (12) 吉田宏一郎、石川邦照、鈴田回廣：浮遊骨組構造の周期応答解析、造船論, Vol. 136, 1974
- (13) 吉田宏一郎、石川邦照：浮遊骨組構造の周期応答解析（続報）、造船論, Vol. 138, 1975 (審査未定)
- (14) 為広正起：半潜水型フロートフォームの構造形状の変遷について、海洋工学シンポジウム、造船, 1974
- (15) 元良誠三、小山健夫：波による Heading および Pitching の慣性力を受けない船型について、造船論, 117号, 1965
- (16) 田才福造：波浪に対する浮遊構造物の動的応答、海洋工学シンポジウム、造船, 1974
- (17) 有田行雄他：半潜水形ドリリング・ユニットの波浪中ににおける実態の動搖および強度試験、三菱重工技報, Vol. 10, No. 2, 1973
- (18) Pederson, B., Egeland, O. & Langfelt, J. N. : Calculation of Long Term Values for Motions and Structural Response of Mobile Drilling Rigs, OTC 1821, 1973
- (19) Pauiling, J. R. : Elastic Response of Stable platform Structures to Wave Loading, Intern. Sympo. DMVSW, London, 1974

- (20) Pincemin, M. et al. : An Integrated Program for the Dynamic Structural Calculation of Mobile Offshore Units, OTC 2052, 1974
- (21) Opstal, G. H. C. et al : Mosas: A Motion and Strength Analysis System for Semisubmersible Units and Floating Structures, OTC 2105, 1974
- (22) 藤井奇, 高橋雄 : 海洋構造物に作用する流体力の推定, 三菱重工技報, Vol. 7, No. 1, 1970
- (23) 佐尾邦久, 前田久明, 黄宗屹 : 軸対称物体の上下振れについて, 造船論, Vol. 130, 1971
- (24) Morison, J. R., O'Brien, M. P., Johnson, J. W. & Shaft, S. A. : The Force Exerted by Surface Waves on Piles, Petroleum Transactions, Vol. 189, 1950
- (25) Det Norske Veritas : Rules for Construction and Classification of Mobile Offshore Units, 1975
- (26) Bell, A. D. & Walker, R. C. : Stress Experienced by an Offshore Mobile Drilling Units, OTC 1440, 1971
- (27) 佐原寿郎 他 : 浮遊式海洋構造物の波浪中の運動, 強度の推定法に関する研究, 造船論, 134号, 1973